Interazioni Elettrodeboli

prof. Francesco Ragusa Università di Milano

Iscrizione appello

Lezione n. 19

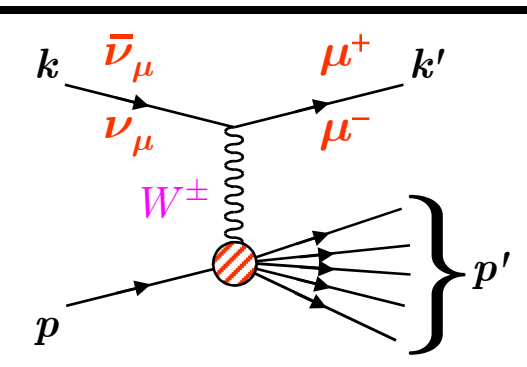
2.12.2025

Deep inelastic scattering di neutrini Modello a partoni del nucleone Distribuzioni di quark nei nucleoni Scoperta delle correnti neutre

anno accademico 2025-2026

Neutrino deep inelastic scattering (DIS)

- Il diagramma per la diffusione profondamente anelastica di neutrini da protone è
 - Si può parametrizzare l'elemento di matrice adronico per studiare interazioni profondamente anelastiche di neutrini (antineutrini)



- Un formalismo analogo a quello che si utilizza per lo scattering anelastico di elettroni
- Per la sezione d'urto differenziale si trova

$$\frac{d\sigma}{dE'_{\mu}d\Omega} \sim G^2 L^{\alpha\beta} W_{\alpha\beta}$$

- Il tensore $L^{\alpha\beta}$ è lo stesso di quello utilizzato nello studio delle interazioni leptoniche di neutrini (era $M^{\mu\nu}$ o $N^{\mu\nu}$, diapositiva 525)
- Il tensore $W^{\alpha\beta}$ si parametrizza con tre funzioni di struttura (funzioni di due variabili cinematiche)

$$W^{\alpha\beta} = -g^{\alpha\beta}W_1 + \frac{1}{m_p^2} p^{\alpha}p^{\beta}W_2 - \frac{i}{2m_p^2} \varepsilon^{\alpha\beta\gamma\delta} p_{\gamma}q_{\delta}W_3$$

Neutrino deep inelastic scattering (DIS)

- Nel deep inelastic scattering si utilizzano le variabili $\mathit{Q}^{2}=-\mathit{q}^{2}$ e $\nu=\mathit{E}_{
 u}-\mathit{E}_{\mu}$
 - Lo scattering non è elastico e una sola variabile non è sufficiente

$$q^2 = (k - k')^2 = k^2 + k'^2 - 2k \cdot k' \approx -2k \cdot k'^2 \approx -2E_\nu E_\mu (1 - \cos \theta)$$

$$q^2 = -4E_\nu E_\mu \sin^2 \frac{\theta}{2}$$

$$\nu = E_\nu - E_\mu$$

$$\text{Inoltre, per la conservazione del 4-momento, si ha}$$

$$p' = p + q$$

$$\text{The per la conservatione del 4-momento, si ha}$$

Sviluppando

$$p'^2 = (p+q)^2$$
 \longrightarrow $M^{*2} \equiv p'^2 = m_p^2 + q^2 + 2q \cdot p$ $p = (m_p, 0)$

 $M^{*2} = m_n^2 + q^2 + 2m_n \nu$ M^* massa invariante del sistema adronico

• Per la sezione d'urto si trova ($W_i=\,W_i(\,Q^2,\!
u)$)

$$\boxed{ \frac{d\sigma^{\nu,\overline{\nu}}}{dQ^2d\nu} = \frac{G^2}{2\pi} \frac{E_{\mu}}{E_{\nu}} \bigg(2W_1 \sin^2\frac{\theta}{2} + W_2 \cos^2\frac{\theta}{2} \pm W_3 \frac{E_{\nu} + E_{\mu}}{m_p} \sin^2\frac{\theta}{2} \bigg)}$$

- ullet Il segno \pm della funzione W_3 è conseguenza della violazione di parità
 - Vale + per i neutrini
 - Vale per gli antineutrini

Le variabili $x \in y$

• Si sostituiscono di solito le variabili Q^2 e $u=E_
u-E'_\mu$ con le due variabili adimensionali x e y più adeguate per descrivere il limite di alto Q (scaling)

$$x = \frac{Q^2}{2m_p\nu} \qquad \qquad y = \frac{\nu}{E_{\nu}}$$

ullet Le variabili x e y possono essere espresse in funzione di invarianti relativistici

$$x = \frac{-q^2}{2p \cdot q}$$

$$y = \frac{p \cdot q}{p \cdot k}$$

$$y = \frac{p \cdot q}{p \cdot k}$$

- Si può facilmente verificare che le espressioni precedenti si riducono alle espressioni originali nel sistema di laboratorio
- Si possono infine verificare le seguenti relazioni
 - ullet Le regioni fisiche per le variabili x e y sono

$$0 \le x \le 1$$

$$0 \le y \le 1$$

$$0 \le y \le 1$$

• La variabile y è legata all'angolo di diffusione nel centro di massa θ

$$1 - y = \frac{1}{2}(1 + \cos\theta)$$
 $y = \frac{1}{2}(1 - \cos\theta)$

$$y = \frac{1}{2}(1 - \cos\theta)$$

Le variabili x e y

• Si sostituiscono di solito le variabili Q^2 e $\nu=E_{
u}-E'_{\mu}$ con le due variabili adimensionali x e y più adeguate per descrivere il limite di alto Q (scaling)

$$x = \frac{Q^2}{2m_p\nu} \qquad \qquad y = \frac{\nu}{E_{\nu}}$$

ullet Le variabili x e y possono essere espresse in funzione di invarianti relativistici

$$x = \frac{-q^2}{2p \cdot q}$$

$$y = \frac{p \cdot q}{p \cdot k}$$

- Si può facilmente verificare che le espressioni precedenti si riducono alle espressioni originali nel sistema di laboratorio
- ullet Vediamo quali sono le regioni fisiche delle variabili x e y
 - Iniziamo con $x = \frac{-q^2}{2m \nu}$
 - Sappiamo che, trascurando le masse dei leptoni

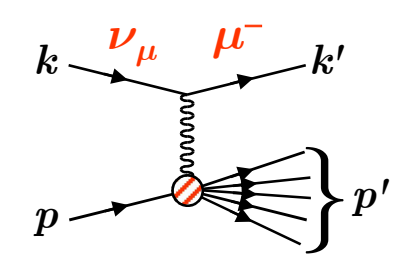
$$q^2 \approx -4E_{\nu}E_{\mu}\sin^2\frac{\theta}{2} \le 0$$

• Inoltre $u=E_{
u}-E_{\mu}>0$ quindi $\overline{x\geq 0}$

Le variabili $x \in y$

Ricordiamo la massa invariante del sistema adronico

$$k + p = k' + p'$$
 $p' = (k - k') + p = q + p$
 $M^{*2} = p'^2 = (q + p)^2 = q^2 + m_p^2 + 2m_p\nu$



• Poiché $M^{*2} \geq m_n^2$

$$q^2 + 2m_p \nu \ge 0$$

$$2m_p \nu \ge -q^2$$

$$q^2 + 2m_p \nu \ge 0$$
 $2m_p \nu \ge -q^2$ $1 \ge \frac{-q^2}{2m_p \nu}$

$$1 \ge x$$

• Mettendo insieme i due risultati

$$0 \le x \le 1$$

• Per quanto riguarda y

$$y = \frac{\nu}{E_{\nu}}$$
 $y = \frac{E_{\nu} - E_{\mu}}{E_{\nu}} = 1 - \frac{E_{\mu}}{E_{\nu}}$

Concludiamo che

$$0 \le y \le 1$$

• Può infine essere utile anche l'espressione invariante per u, simile, ovviamente, a quella di y

$$y = \frac{p \cdot q}{p \cdot k}$$

$$\nu = \frac{p \cdot q}{m_p}$$

Le variabili x e y

 Disegniamo la regione cinematica permessa

$$\frac{-q^2}{2m_p\nu} \le 1 \qquad Q^2 \le 2m_p E_{\nu} \frac{\nu}{E_{\nu}} = 2m_p E_{\nu} y$$

• Nel piano Q-y, la regione cinematica permessa è limitata da una retta Q^2 in funzione di y

• Inoltre
$$x = \frac{Q^2}{2m_p\nu}$$

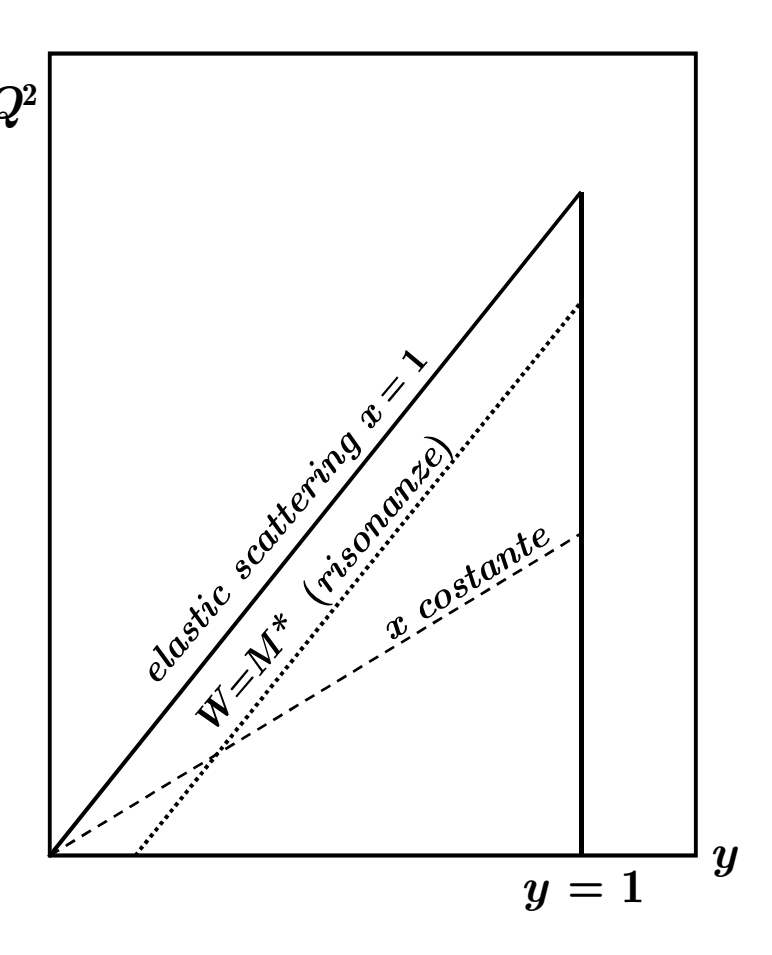
- Pertanto $Q^2 = x \left(2 m_p E_\nu \right) y$
 - Una famiglia di rette
- Infine

$$M^{*2} - m_p^2 = -Q^2 + 2m_p \nu$$

$$Q^2 = 2m_p \nu - (W^2 - m_p^2)$$

$$Q^2 = 2m_p E_{\nu} y - (W^2 - m_p^2)$$

• Ribadiamo che per lo scattering elastico si ha $x=1\,$



Variabili cinematiche

- Troviamo una relazione fra $y \in \cos\theta$
 - ullet Ricordiamo la definizione delle variabili x e y

$$x = \frac{-q^2}{2p \cdot q} \qquad y = \frac{p \cdot q}{p \cdot k}$$

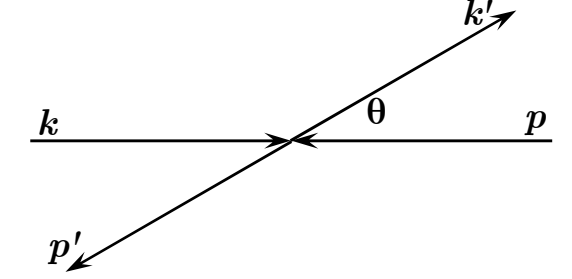
$$y = \frac{p \cdot (k - k')}{p \cdot k} = 1 - \frac{p \cdot k'}{p \cdot k}$$

$$1 - y = \frac{p \cdot k'}{p \cdot k}$$

• Consideriamo il sistema di c.m. e trascuriamo le masse delle particelle

$$s = (p+k)^2 \approx 2p \cdot k$$

$$p \cdot k' = E_p E_{k'} - |\mathbf{p}| |\mathbf{k}'| \cos(\pi - \theta)$$



Pertanto

$$E_p pprox \left| \mathbf{p} \right| pprox E_{k'} pprox \left| \mathbf{k'} \right| pprox rac{\sqrt{s}}{2}$$

$$E_p \approx \left| \mathbf{p} \right| \approx E_{k'} \approx \left| \mathbf{k'} \right| \approx \frac{\sqrt{s}}{2} \qquad \qquad \frac{p \cdot k'}{p \cdot k} = \frac{\frac{s}{4} \left(1 + \cos \theta \right)}{\frac{s}{2}} = \frac{1}{2} (1 + \cos \theta)$$

Infine

$$1 - y = \frac{1}{2}(1 + \cos \theta)$$

$$y = \frac{1}{2}(1 - \cos \theta)$$

$$y = \frac{1}{2}(1 - \cos\theta)$$

Scaling di Bjorken

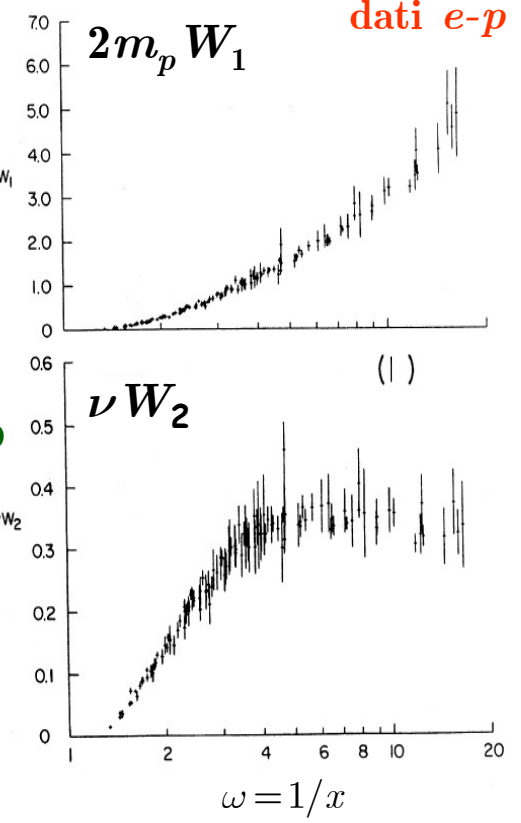
- La sezione d'urto per il DIS mostra un comportamento di tipo asintotico
 - Scoperto nel deep inelastic scattering e-p a SLAC (Bjorken Scaling)
 - Vedi Nobel lectures 1990 di Kedall, Friedman, Taylor[†]
- Bjorken interpretò tutti i comportamenti asintotici osservati
 - Biorken fece le seguenti assunzioni
 - Nel limite di grande Q^2
 - Nel limite di grande u
 - Nei limite di grande ν Per valori finiti del loro rapporto $x=\frac{Q^2}{2m_n\nu}=\frac{1}{\omega}$
 - ullet Sotto queste condizioni le funzioni di strutulletura Wtendono a funzioni (universali) di x
 - In altre parole, la sezione d'urto dipende da una sola variabile cinematica come lo scattering elastico
 - Per il deep inelastic scattering di neutrini si ha

$$m_p W_1\left(Q^2,\nu\right) \to F_1\left(x\right) \qquad \nu W_2\left(Q^2,\nu\right) \to F_2\left(x\right)$$

$$\nu W_3\left(Q^2,\nu\right) \to F_3\left(x\right)$$

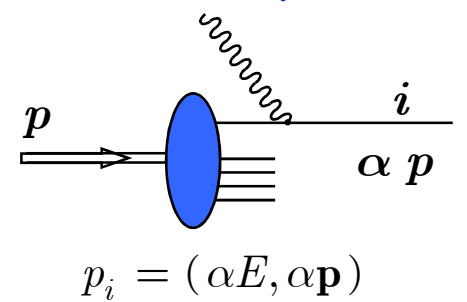
$$\left|\frac{d\sigma^{\nu N}}{dxdy} = \frac{G^2 m_N E_\nu}{\pi} \bigg[xy^2 F_1(x) + (1-y) F_2(x) + xy \bigg(1 - \frac{y}{2}\bigg) F_3(x) \bigg] \right|$$

• † https://www.nobelprize.org/uploads/2018/06/kendall-lecture-1.pdf

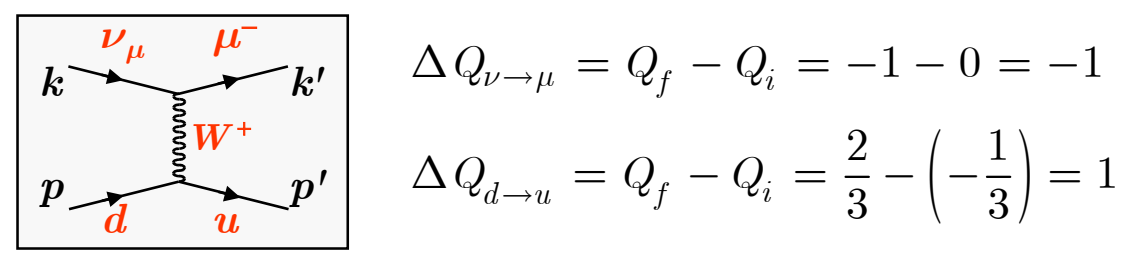


Il modello a partoni

- Interpretiamo lo scattering profondamente anelastico con il modello a partoni
 - Il nucleone è composto da partoni ciascuno dei quali trasporta una frazione α del momento del nucleone
 - ullet La probabilità che il partone $i ext{-esimo}$ abbia una frazione lpha del momento totale del nucleone è data da $\frac{dP}{d\alpha} = f_i(\alpha)$



- Nella ipotesi che i partoni siano quarks utilizziamo le sezioni d'urto per lo scattering di neutrini o antineutrini
- Per il momento, ci limitiamo alle interazioni di correnti cariche, quelle cioè che vedono la variazione di carica ±1 per il fermione e che sono mediate dai bosoni vettoriali W^{\pm} , ad esempio:



$$\Delta Q_{\nu \to \mu} = Q_f - Q_i = -1 - 0 = -1$$

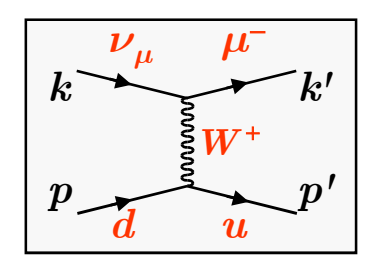
$$\Delta Q_{d \to u} = Q_f - Q_i = \frac{2}{3} - \left(-\frac{1}{3}\right) = 1$$

- Nello studio delle interazioni leptoniche avevamo visto che la sezione d'urto era

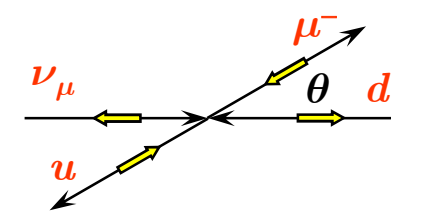
 - $rac{d\sigma}{d\Omega} = rac{G^2 s}{4\pi^2} \left| d_{i,j} \right|^2$ Dove d_{ij} erano le matrici di rotazione per J=1

Interazione neutrino quark (CC)

$$1 - y = \frac{1}{2}(1 + \cos\theta)$$

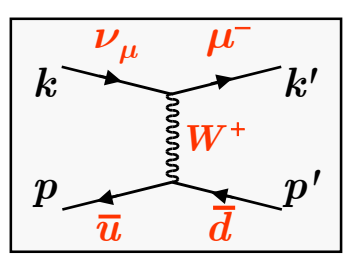


$$\frac{d\sigma}{dy} = \frac{G^2s}{\pi}$$

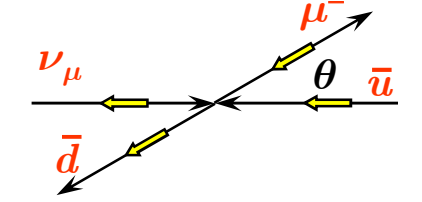


Vedi diapositiva 531

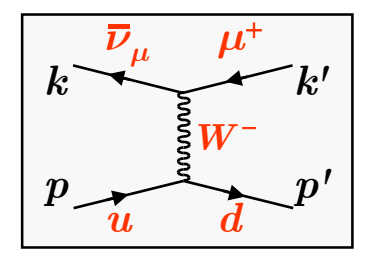
$$egin{aligned} oldsymbol{J}_z &= 0 \ ext{Isotropa} \end{aligned}$$



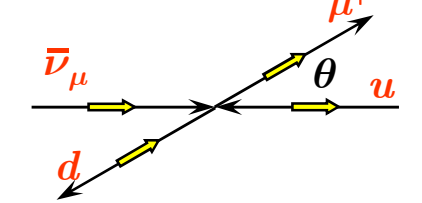
$$\frac{d\sigma}{dy} = \frac{G^2s}{\pi}(1-y)^2$$



$$\begin{aligned} & \boldsymbol{J_z} = -1 \rightarrow \boldsymbol{J_z} = -1 \\ & \mathfrak{M} \sim d_{-1,-1} \sim 1 + \cos\theta \\ & \sigma = 0 \text{ per } \theta = \pi \end{aligned}$$



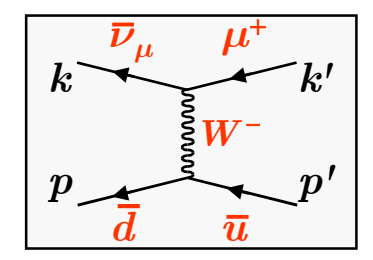
$$\frac{d\sigma}{dy} = \frac{G^2s}{\pi}(1-y)^2$$



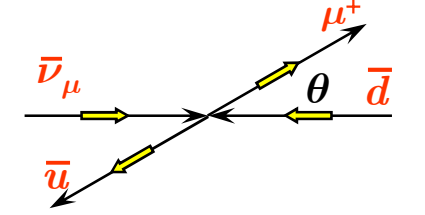
$$J_z = 1 \rightarrow J_z = 1$$

$$\mathfrak{M} \sim d_{1,1} \sim 1 + \cos \theta$$

$$\sigma = 0 \text{ per } \theta = \pi$$



$$\frac{d\sigma}{dy} = \frac{G^2s}{\pi}$$

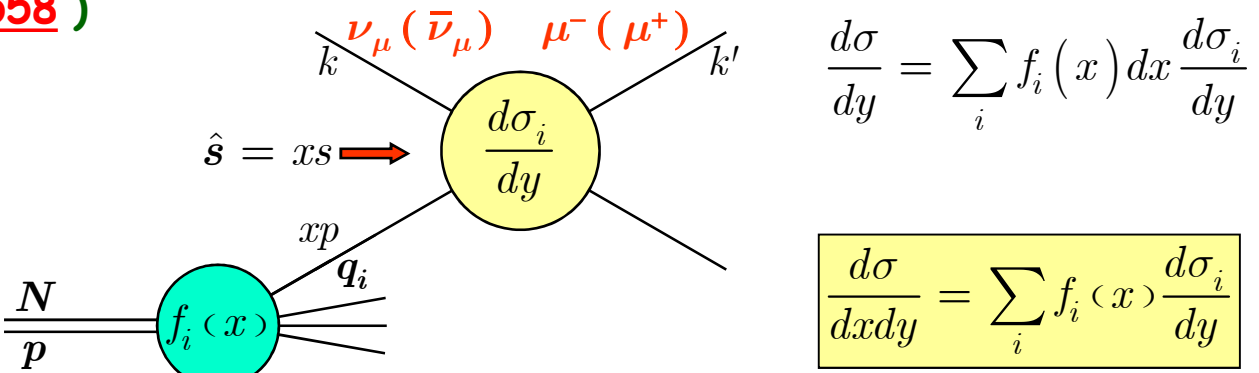


$$egin{aligned} oldsymbol{J}_z &= 0 \ ext{Isotropa} \end{aligned}$$

Modello a partoni

- Utilizziamo il modello a partoni per interpretare i risultati dello scattering profondamente anelastico neutrino nucleone
 - La sezione d'urto è la somma incoerente delle sezioni d'urto dei singoli partoni pesate con le distribuzioni $f_i(x)$

ullet La probabilità per il partone $i ext{-}esimo$ di avere di avere una frazione x del momento è $f_i(x)dx$ (si può dimostrare che x coincide con la variabile definita in 558)



$$\frac{d\sigma}{dxdy} = \sum_i f_i (x) \frac{d\sigma_i}{dy}$$

ullet Se un partone trasporta una frazione x del momento totale abbiamo che la variabile \hat{s} per questo processo è (trascuriamo le masse)

$$\hat{\boldsymbol{s}} = (k + xp)^2 \approx 2xk \cdot p = xs$$

- La sezione d'urto del partone i-esimo viene calcolata a questa energia
- 1 vedi Aitchison, Hey Gauge Theories in Particle Physics vol. 1 § 9.2

Modello a partoni

• Scriviamo l'espressione per la sezione d'urto u - protone



- Il protone è composto da 2 quark u e un quark d più eventuali quarks/anti-quarks del mare ($g \to q \ \overline{q} \to g$)
 - Il neutrino interagisce solo con i quark di valenza d oppure con antiquark \overline{u} del mare
- La sezione d'urto u p pertanto è $(f_q(x) o q(x))$

$$\frac{d\sigma^{\nu p}}{dxdy} = d_p(x) \frac{d\sigma_{\nu d}}{dy} + \overline{u}_p(x) \frac{d\sigma_{\nu \overline{u}}}{dy}$$

$$\frac{d\sigma^{\nu p}}{dxdy} = \frac{G^2s}{\pi}x \left[d_p(x) + \overline{u}_p(x)(1-y)^2\right]$$

- Analogamente la sezione d'urto $\overline{
 u}$ p
 - L'antineutrino interagisce solo con i quark di valenza u oppure con antiquark \overline{d} del mare

$$\frac{d\sigma^{\overline{\nu}p}}{dxdy} = u_p(x)\frac{d\sigma_{\overline{\nu}u}}{dy} + \overline{d}_p(x)\frac{d\sigma_{\overline{\nu}\overline{d}}}{dy}$$

$$\frac{d\sigma^{\overline{\nu}\,p}}{dxdy} = \frac{G^2s}{\pi}x\big[u_p(x)(1-y)^2 + \overline{d}_p(x)\big]$$

Modello a partoni

• Scriviamo l'analoga espressione per la sezione d'urto u - neutrone



- Il neutrone è composto da 2 quark d e un quark u più eventuali quarks/anti-quarks del mare ($g \to q \ \overline{q} \to g$)
 - Il neutrino interagisce solo con i quark di valenza d oppure con antiquark \overline{u} del mare
- La sezione d'urto u n pertanto è

$$\frac{d\sigma^{\nu n}}{dxdy} = \frac{G^2s}{\pi}x \left[d_n(x) + \overline{u}_n(x)(1-y)^2\right]$$

- Analogamente la sezione d'urto $\overline{
 u}$ n
 - L'antineutrino interagisce solo con i quark di valenza u oppure con antiquark \overline{d} del mare

$$\frac{d\sigma^{\overline{\nu}n}}{dxdy} = \frac{G^2s}{\pi}x \left[u_n(x)(1-y)^2 + \overline{d}_n(x)\right]$$

Il modello a partoni

- Possiamo assumere che n e p siano un doppietto di isospin
 - ullet Sono sistemi speculari rispetto a scambio $u \leftrightarrow d$

Otteniamo per le 4 sezioni d'urto

$$\frac{d\sigma^{\nu p}}{dxdy} = \frac{G^2s}{\pi}x \left[d(x) + \overline{u}(x)(1-y)^2\right]$$

$$\left| \frac{d\sigma^{\nu p}}{dxdy} = \frac{G^2 s}{\pi} x \left[d(x) + \overline{u}(x) (1-y)^2 \right] \right| \qquad \left| \frac{d\sigma^{\overline{\nu}p}}{dxdy} = \frac{G^2 s}{\pi} x \left[u(x) (1-y)^2 + \overline{d}(x) \right] \right|$$

$$\left| \frac{d\sigma^{\nu n}}{dxdy} = \frac{G^2s}{\pi} x \left[u(x) + \overline{d}(x)(1-y)^2 \right] \right|$$

$$\boxed{\frac{d\sigma^{\nu n}}{dxdy} = \frac{G^2s}{\pi}x\big[u(x) + \overline{d}(x)(1-y)^2\big]} \qquad \boxed{\frac{d\sigma^{\overline{\nu}n}}{dxdy} = \frac{G^2s}{\pi}x\big[d(x)(1-y)^2 + \overline{u}(x)\big]}$$

ullet Pertanto misurando le 4 sezioni d'urto in funzione di x e y si possono ricavare le 4 funzioni di distribuzione

La misura delle funzioni di distribuzione

- Da un punto di vista sperimentale occorre tenere conto che le sezioni d'urto di neutrini e antineutrini sono molto basse
 - Per aumentare la statistica occorre utilizzare materiali densi invece di idrogeno e deuterio
 - Si utilizzano come bersagli i cosiddetti materiali isoscalari i cui nuclei contengono lo stesso numero di neutroni e protoni
- Le sezioni d'urto misurate sono in questo caso la media delle due sezioni d'urto trovate

$$\frac{d\sigma^{\nu N}}{dxdy} = \frac{1}{2} \left(\frac{d\sigma^{\nu p}}{dxdy} + \frac{d\sigma^{\nu n}}{dxdy} \right)$$

$$\frac{d\sigma^{\nu N}}{dxdy} = \frac{1}{2} \left(\frac{d\sigma^{\nu p}}{dxdy} + \frac{d\sigma^{\nu n}}{dxdy} \right) \qquad \qquad \frac{d\sigma^{\nu N}}{dxdy} = \frac{G^2 s}{2\pi} x \left[q(x) + \overline{q}(x)(1-y)^2 \right]$$

- **Dove** q(x) = d(x) + u(x)
- Analogamente per le sezioni d'urto di antineutrini

$$\frac{d\sigma^{\overline{\nu}N}}{dxdy} = \frac{1}{2} \left(\frac{d\sigma^{\overline{\nu}p}}{dxdy} + \frac{d\sigma^{\overline{\nu}n}}{dxdy} \right)$$

$$\frac{d\sigma^{\overline{\nu}N}}{dxdy} = \frac{1}{2} \left(\frac{d\sigma^{\overline{\nu}p}}{dxdy} + \frac{d\sigma^{\overline{\nu}n}}{dxdy} \right) \qquad \frac{d\sigma^{\overline{\nu}N}}{dxdy} = \frac{G^2s}{2\pi} x \left[q(x)(1-y)^2 + \overline{q}(x) \right]$$

Il modello a partoni

 Confrontiamo la formula generale dello scattering "deep inelastic" di neutrini con la formula appena ricavata

$$\frac{d\sigma^{\nu N}}{dxdy} = \frac{G^2 m_N E_{\nu}}{\pi} \left[xy^2 F_1 + (1-y) F_2 + xy \left(1 - \frac{y}{2}\right) F_3 \right]$$

$$\frac{d\sigma^{\nu N}}{dxdy} = \frac{G^2 s}{2\pi} x \left[q(x) + \overline{q}(x) (1-y)^2 \right]$$

ullet Uguagliamo i coefficienti delle diverse potenze di y

$$F_2 - \left(F_2 - xF_3\right)y + \frac{x}{2}\left(2F_1 - F_3\right)y^2 \qquad x\left[q\left(x\right) + \overline{q}\left(x\right)\right] - 2x\overline{q}\left(x\right)y + x\overline{q}\left(x\right)y^2$$

$$\begin{cases} F_{2}(x) = xq(x) + x\overline{q}(x) \\ F_{2}(x) - xF_{3}(x) = 2x\overline{q}(x) \\ 2F_{1}(x) - F_{3}(x) = 2\overline{q}(x) \end{cases} \qquad F_{2}(x) = xq(x) + x\overline{q}(x)$$

Il modello a partoni

 Sostituendo la prima espressione nella seconda equazione

$$xq(x) + x\overline{q}(x) - xF_3(x) = 2x\overline{q}(x)$$
$$F_3(x) = q(x) - \overline{q}(x)$$

• Sostituendo nella terza equazione

$$2F_{1}(x) = 2\overline{q}(x) + q(x) - \overline{q}(x)$$

$$2F_{1}(x) = q(x) + \overline{q}(x)$$

• Dal confronto delle soluzioni per F_2 e F_1 si ritrova la relazione di Callan Gross

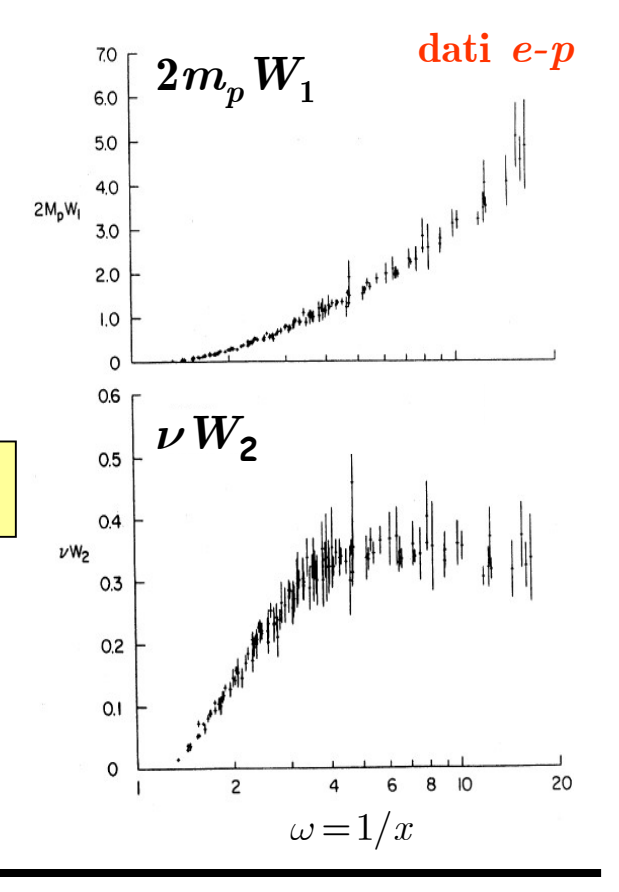
$$2xF_1(x) = F_2(x)$$

$$F_2(x) = xq(x) + x\overline{q}(x)$$

$$F_3(x) = q(x) - \overline{q}(x)$$

$$2F_1(x) = q(x) + \overline{q}(x)$$

$$\begin{cases} F_{2}(x) = xq(x) + x\overline{q}(x) \\ F_{2}(x) - xF_{3}(x) = 2x\overline{q}(x) \\ 2F_{1}(x) - F_{3}(x) = 2\overline{q}(x) \end{cases}$$



Sezione d'urto differenziale

ullet Adesso integriamo rispetto x le sezioni d'urto trovate con il modello a partoni

$$\frac{d\sigma^{\nu N}}{dxdy} = \frac{G^2s}{2\pi}x\big[q(x) + \overline{q}(x)(1-y)^2\big] \qquad \frac{d\sigma^{\overline{\nu}N}}{dxdy} = \frac{G^2s}{2\pi}x\big[q(x)(1-y)^2 + \overline{q}(x)\big]$$

$$\frac{d\sigma^{\overline{\nu}N}}{dxdy} = \frac{G^2s}{2\pi}x \left[q(x)(1-y)^2 + \overline{q}(x)\right]$$

• Per la sezione d'urto di neutrini abbiamo

$$\frac{d\sigma^{\nu N}}{dy} = \frac{G^2 s}{2\pi} \int_0^1 x \left[q(x) + \overline{q}(x) (1-y)^2 \right] dx$$

Posto

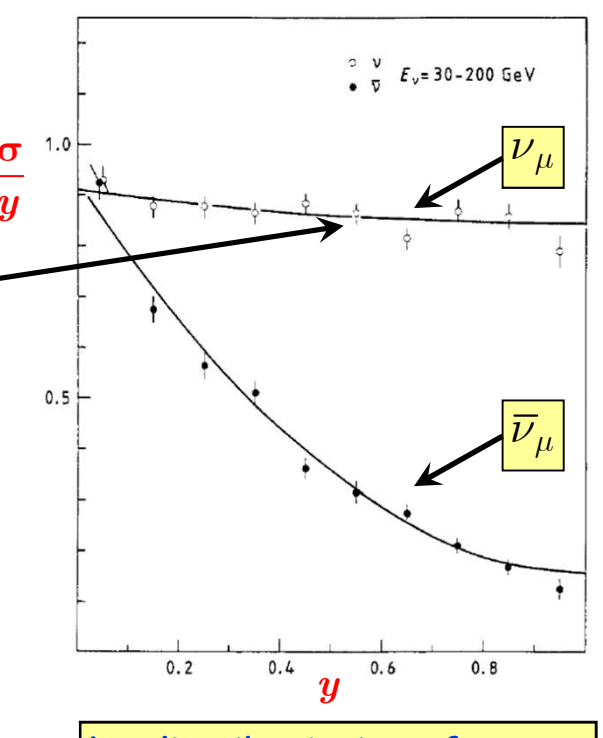
Posto
$$Q = \int_0^1 xq(x) dx \qquad \overline{Q} = \int_0^1 x \overline{q}(x) dx$$

Troviamo

$$\frac{d\sigma^{\nu N}}{dy} = \frac{G^2 s}{2\pi} \left[Q + \overline{Q} (1 - y)^2 \right]$$

Analogamente per gli antineutrini

$$\frac{d\sigma^{\overline{\nu}N}}{dy} = \frac{G^2s}{2\pi} [Q(1-y)^2 + \overline{Q}]$$



Le distribuzioni confermano la struttura V-A

• Possiamo infine calcolare le sezioni d'urto totali

$$\sigma^{\nu N} = \frac{G^2 s}{2\pi} \int_0^1 [Q + \overline{Q} (1 - y)^2] dy$$

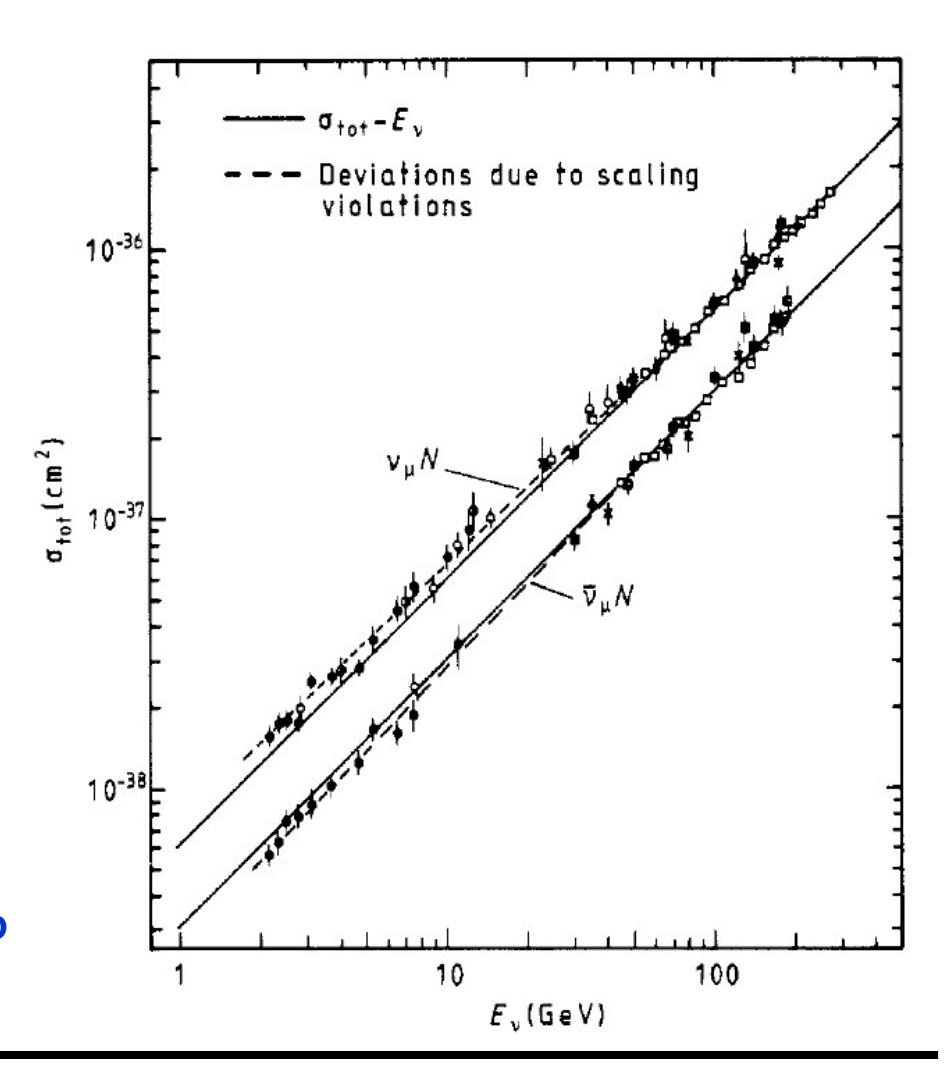
- Ricordiamo che $s=2m_N E_{
 u}$
- Otteniamo

$$\sigma^{\nu N} = \frac{G^2 m_N E_{\nu}}{\pi} \left(Q + \frac{\overline{Q}}{3} \right)$$

Analogamente

$$\sigma^{\overline{\nu}N} = \frac{G^2 m_N E_{\nu}}{\pi} \left(\frac{Q}{3} + \overline{Q} \right)$$

 Escluso una piccola discrepanza a basse energie, l'andamento lineare della sezione d'urto previsto dal modello a partoni è confermato fino a energie ~ 300 GeV



• Studiamo il coefficiente della dipendenza lineare delle due sezioni d'urto

$$\sigma^{\nu N} = \frac{G^2 m_N E_{\nu}}{\pi} \left(Q + \frac{\overline{Q}}{3} \right) \qquad \qquad \sigma^{\overline{\nu} N} = \frac{G^2 m_N E_{\nu}}{\pi} \left(\frac{Q}{3} + \overline{Q} \right)$$

ullet Preliminarmente, definiamo e calcoliamo il coefficiente k

$$\frac{G^2 s}{2\pi} = \frac{G^2 m_N E_{\nu}}{\pi} \to \frac{G^2 m_N}{\pi} (\hbar c)^2 E_{\nu} \equiv k E_{\nu}$$

$$k = \frac{\left(1.17 \times 10^{-5}\right)^2 \times 0.938 \times 0.389 \times 10^{-27}}{\pi} = 1.59 \times 10^{-38}$$

Sperimentalmente si trova

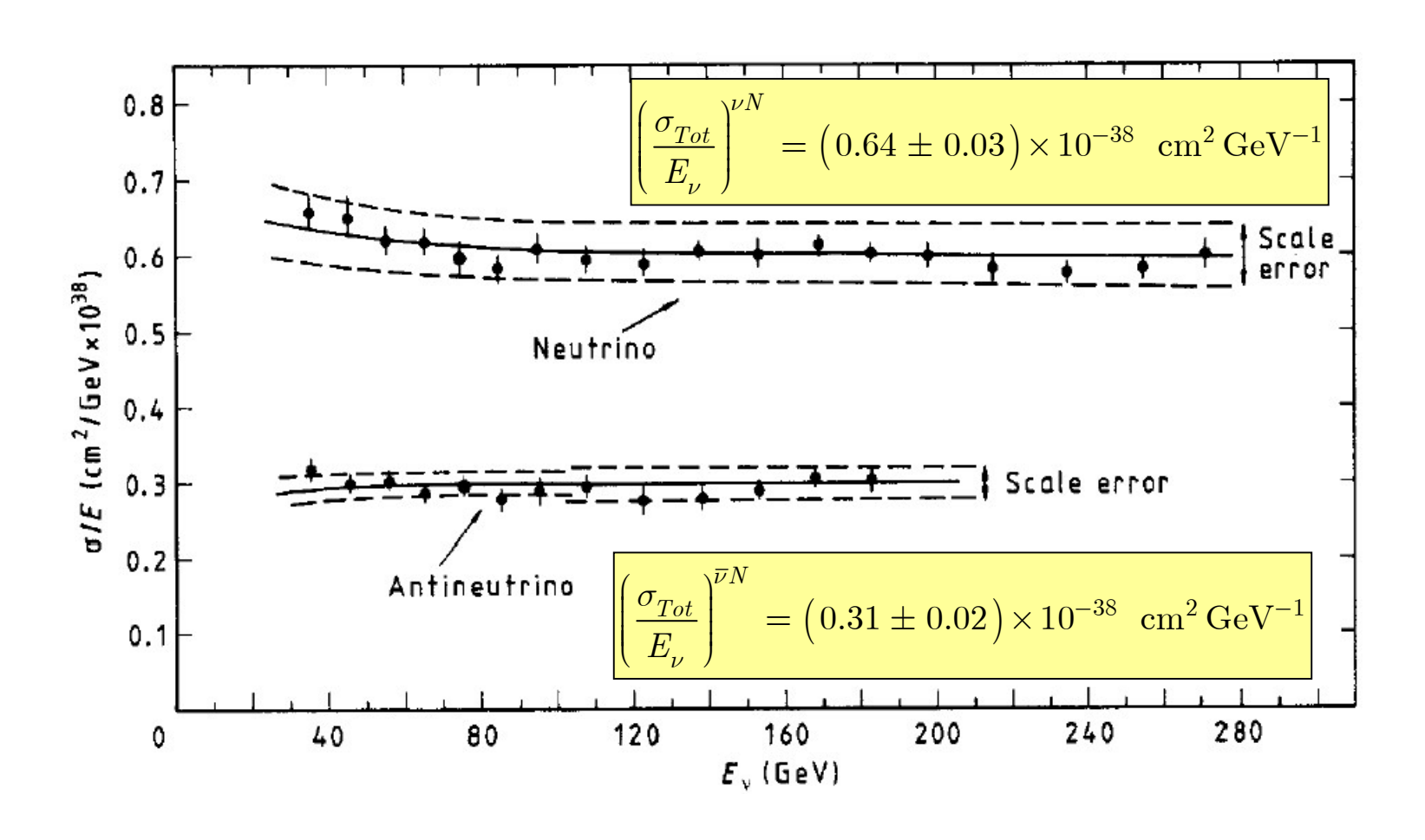
$$\left(\frac{\sigma_{Tot}}{E_{\nu}}\right)^{\nu N} = (0.64 \pm 0.03) \times 10^{-38} \text{ cm}^2 \,\text{GeV}^{-1}$$

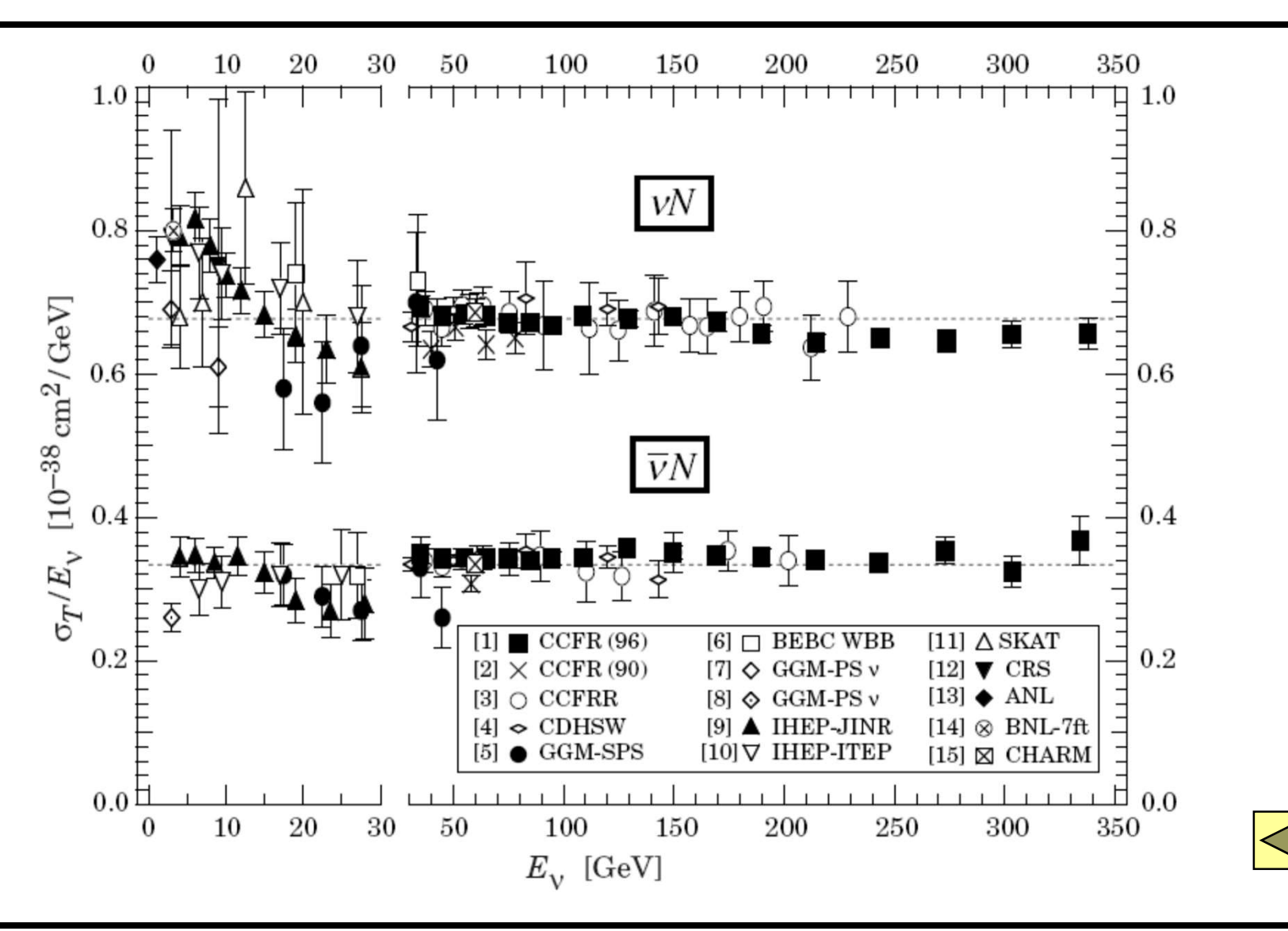
$$\left(\frac{\sigma_{Tot}}{E_{\nu}}\right)^{\bar{\nu}N} = (0.31 \pm 0.02) \times 10^{-38} \text{ cm}^2 \,\text{GeV}^{-1}$$

• Si possono ricavare $\left(Q+\overline{Q}\right)$ e $\left(Q-\overline{Q}\right)$









• Si ottiene

$$\sigma^{\nu N} = \frac{G^2 m_N E_{\nu}}{\pi} \left(Q + \frac{\overline{Q}}{3} \right) \qquad \sigma^{\overline{\nu} N} = \frac{G^2 m_N E_{\nu}}{\pi} \left(\frac{Q}{3} + \overline{Q} \right)$$

$$\sigma^{ar{
u}N} = rac{G^2 m_N E_
u}{\pi} \left(rac{Q}{3} + ar{Q}
ight)$$

$$\frac{1}{k} \frac{\sigma^{\nu N} + \sigma^{\bar{\nu} N}}{E_{\text{cr}}} = \frac{4}{3} (Q + \bar{Q}) = 0.59 \pm 0.04$$

$$Q + \bar{Q} = 0.44 \pm 0.03$$

$$Q + \bar{Q} = 0.44 \pm 0.03$$

$$\frac{1}{k} \frac{\sigma^{\nu N} - \sigma^{\bar{\nu} N}}{E_{\nu}} = \frac{2}{3} (Q - \bar{Q}) = 0.207 \pm 0.014 \qquad \boxed{Q - \bar{Q} = 0.311 \pm 0.021}$$

$$Q - \bar{Q} = 0.311 \pm 0.021$$

 La presenza di antiguark (del mare) è dovuta ai gluoni che si trasformano in coppie $q \overline{q}$

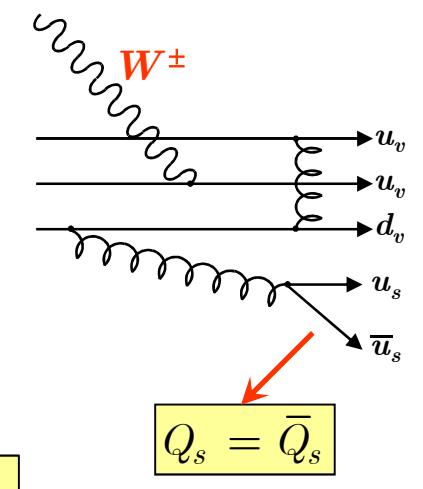
$$Q - \bar{Q} = Q_v + Q_s - \bar{Q}_s = Q_v = 0.311 \pm 0.021$$

$$Q_v = 0.311 \pm 0.021$$



- I quark di valenza circa il 31%
- I quark del mare circa il 13%

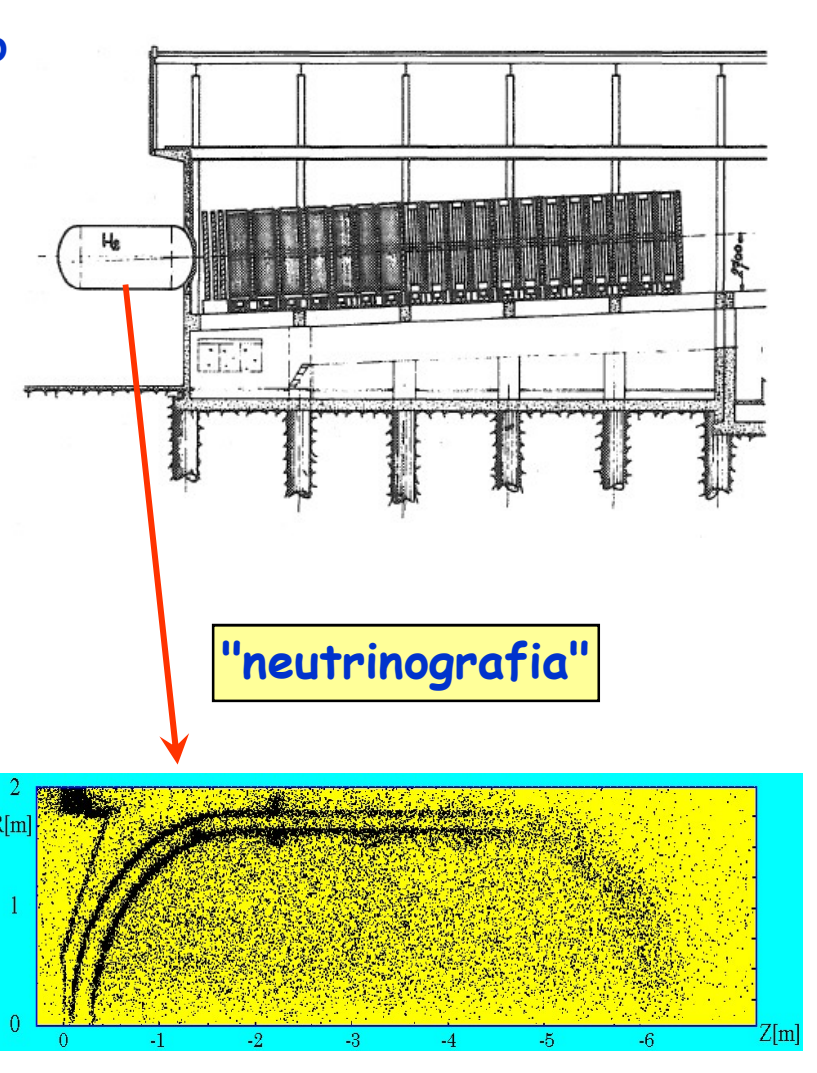
Il restante 56% è trasportato dai gluoni virtuali



$$Q = \int_0^1 x q(x) dx$$

Le distribuzioni dei quark

- Le sezioni d'urto di neutrini e di antineutrini su neutroni e su protoni permettono di separare i le distribuzioni dei quark up e down
 - Per misurare le sezioni d'urto su protone e neutrone occorre utilizzare bersagli di idrogeno e di deuterio
 - Purtroppo con questi materiali la massa del bersaglio è piccola
 - Esperimenti condotti tra la metà anni '70 e la metà anni '80
 - La statistica degli eventi fu limitata (circa 1000 eventi per ogni esperimento)
 - Le sezioni d'urto sono quindi integrate sulla variabile y
- Le misure più accurate sono state fatte dagli esperimenti
 - BEBC
 - CDHS



Le distribuzioni u(x) e d(x)

ullet La sezione d'urto neutrino - protone può essere integrata rispetto a y

$$\frac{d\sigma^{\nu p}}{dxdy} = \frac{G^2s}{\pi}x\left[d(x) + \overline{u}(x)(1-y)^2\right] \qquad \alpha^{\nu p}(x) = \frac{\pi}{G^2s}\frac{d\sigma^{\nu p}}{dx} = \frac{\pi}{G^2s}\int_0^1 \frac{d\sigma^{\nu p}}{dxdy}dy$$

$$\alpha^{\nu p}(x) = \frac{\pi}{G^2 s} \frac{d\sigma^{\nu p}}{dx} = \frac{\pi}{G^2 s} \int_0^1 \frac{d\sigma^{\nu p}}{dx dy} dy$$

Per le 4 sezioni d'urto si ottiene

$$\alpha^{\nu p}(x) = x \left[d(x) + \frac{1}{3} \overline{u}(x) \right]$$

$$\alpha^{\nu n}(x) = x \left[u(x) + \frac{1}{3} \overline{d}(x) \right]$$

$$\alpha^{\overline{\nu}p}(x) = x \left[\frac{1}{3} u(x) + \overline{d}(x) \right]$$

$$\alpha^{\overline{\nu}n}(x) = x \left[\frac{1}{3} d(x) + \overline{u}(x) \right]$$

- Si possono formare le combinazioni (per semplicità non si è indicata esplicitamente la dipendenza da x)
 - Per il protone

$$\alpha^{\nu p} + \alpha^{\overline{\nu}p} = x \left[d + \overline{d} + \frac{1}{3} (u + \overline{u}) \right] \qquad \alpha^{\nu p} - \alpha^{\overline{\nu}p} = x \left[d - \overline{d} - \frac{1}{3} (u - \overline{u}) \right]$$

$$\alpha^{\nu p} - \alpha^{\overline{\nu}p} = x \left[d - \overline{d} - \frac{1}{3} (u - \overline{u}) \right]$$

Per il neutrone

$$\alpha^{\nu n} + \alpha^{\overline{\nu}n} = x \left[u + \overline{u} + \frac{1}{3} (d + \overline{d}) \right] \qquad \alpha^{\nu n} - \alpha^{\overline{\nu}n} = x \left[u - \overline{u} - \frac{1}{3} (d - \overline{d}) \right]$$

$$\alpha^{\nu n} - \alpha^{\overline{\nu}n} = x \left[u - \overline{u} - \frac{1}{3} (d - \overline{d}) \right]$$

La distribuzione u(x)

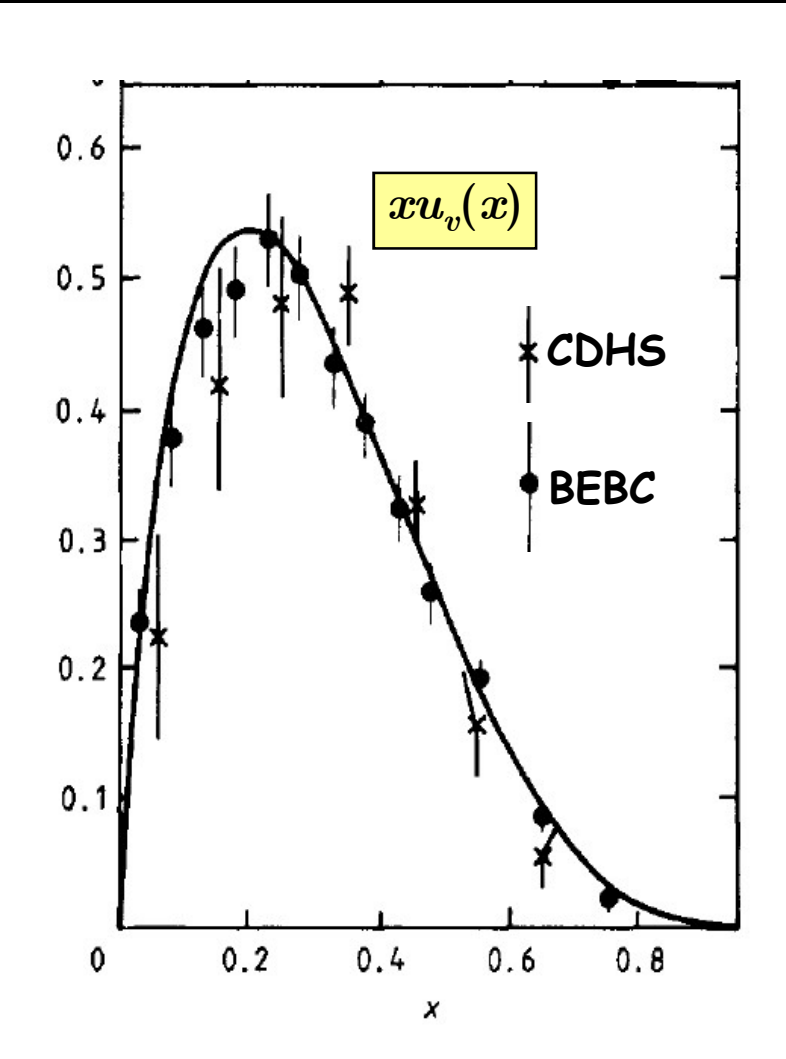
$$\alpha^{\nu p} - \alpha^{\overline{\nu}p} = x \left[d - \overline{d} - \frac{1}{3} (u - \overline{u}) \right]$$

$$\alpha^{\nu n} - \alpha^{\overline{\nu}n} = x \left[u - \overline{u} - \frac{1}{3} (d - \overline{d}) \right]$$

• Possiamo a questo punto ricavare la distribuzione $u_v(x)$ per il quark di valenza up

$$\alpha^{\nu p} - \alpha^{\overline{\nu}p} + 3(\alpha^{\nu n} - \alpha^{\overline{\nu}n}) = \frac{8}{3}x[u - \overline{u}]$$

$$\left| xu_v(x) = \frac{3}{8} \left[\alpha^{\nu p} - \alpha^{\overline{\nu}p} + 3(\alpha^{\nu n} - \alpha^{\overline{\nu}n}) \right] \right|$$



La distribuzione d(x)

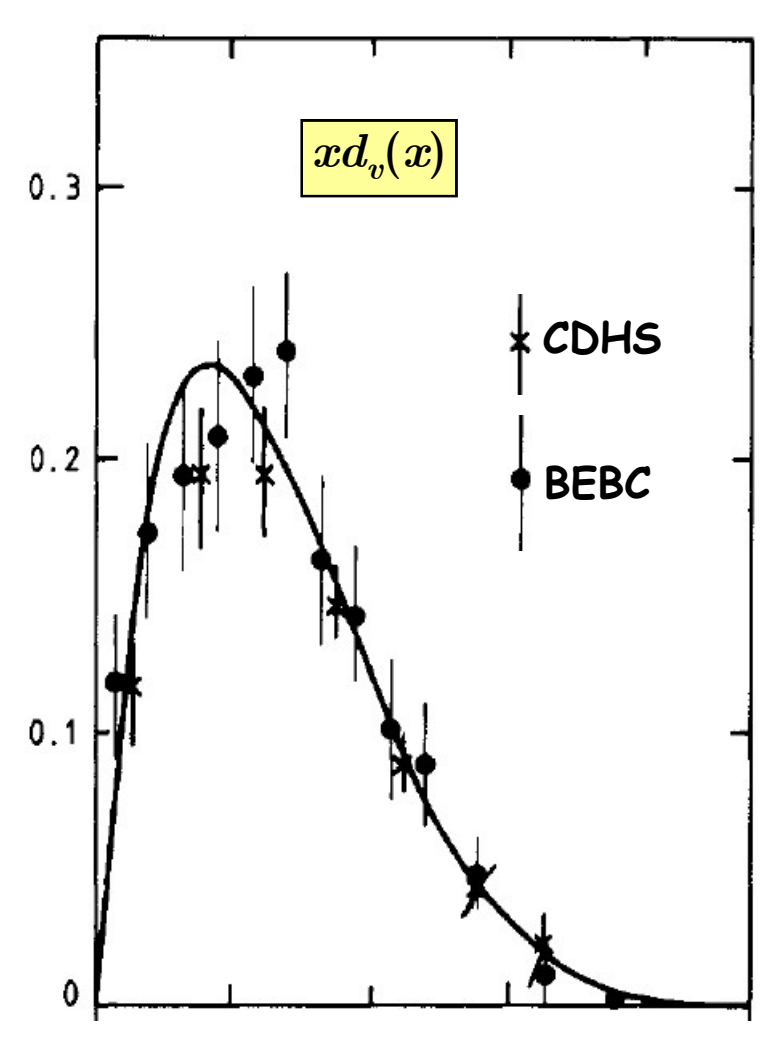
ullet Analogamente per la distribuzione del quark d

$$\alpha^{\nu p} - \alpha^{\overline{\nu}p} = x \left[d - \overline{d} - \frac{1}{3} (u - \overline{u}) \right]$$

$$\alpha^{\nu n} - \alpha^{\overline{\nu}n} = x \left[u - \overline{u} - \frac{1}{3} (d - \overline{d}) \right]$$

$$3(\alpha^{\nu p} - \alpha^{\overline{\nu}p}) + \alpha^{\nu n} - \alpha^{\overline{\nu}n} = \frac{8}{3}x[d - \overline{d}]$$

$$xd_{v}(x) = \frac{3}{8} \left[3\left(\alpha^{\nu p} - \alpha^{\overline{\nu}p}\right) + \alpha^{\nu n} - \alpha^{\overline{\nu}n} \right] \quad \textbf{0.1}$$



- La Teoria di Fermi ha consentito di interpretare una enorme quantità di fenomeni ma rimane il problema che è una teoria non rinormalizzabile
 - Abbiamo visto che la Teoria di Fermi prevede che le sezioni d'urto dei processi di corrente carica dipendano linearmente dalla energia

$$\int \sigma \sim G^2 m_N^{} E_
u^{}$$

- Evidentemente questo andamento non è accettabile perché diverge
- Abbiamo visto che l'introduzione di un bosone vettoriale come mediatore della forza rimuove il problema perché conduce ad una sezione d'urto asintotica non divergente (vedi diapositiva <u>544</u>)

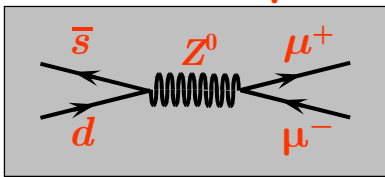
$$\sigma \sim rac{g^4}{s} \sim rac{G^2 M_W^4}{s}$$

- Questa circostanza potrebbe far pensare che si possa formulare la teoria in modo che essa sia rinormalizzabile
- Tuttavia abbiamo visto che la massa diversa da zero del BVI rende la teoria non rinormalizzabile



- Nel 1961 Glashow propose un modello per le interazioni deboli basato sul gruppo di gauge $\mathrm{SU}(2){ imes}\mathrm{U}(1)$
- Nel 1967 Weinberg e Salam introdussero il meccanismo della rottura spontanea della simmetria per introdurre la massa
- Nel 1971 't Hooft dimostrò che la teoria era rinormalizzabile
 - Il modello proposto prevedeva le correnti neutre
 - Tuttavia, nel corso degli anni 60, furono cercati, senza successo, decadimenti mediati da corrente neutra, come ad esempio

$$K^0 \to \mu^+ \mu^-$$



- La corrente adronica genera un transizione da uno stato neutro (K^0) ad un altro stato neutro (il vuoto): $\Delta\,Q=0$
- L'assenza del decadimento faceva ritenere che le correnti neutre o non esistessero o che avessero una intensità estremamente bassa
 - Nel 1970 Glashow, Iliopulos, Maiani: meccanismo GIM per sopprimere le correnti neutre con cambiamento di flavour: FCNC
 - · Le correnti neutre conservano il flavour dei fermioni
 - Possono esistere anche se non esiste $K^0 o \mu^+ \, \mu^-$

- Alla metà degli anni 60 A. Lagarrigue, A. Rousset e P. Musset prepararono la proposta per la costruzione di una camera a bolle per la ricerca del Bosone Vettoriale Intermedio W mediante fasci di neutrini
- La collaborazione era formata dai laboratori: Aachen, Brussels, CERN École Polytechnique Parigi, Londra, Milano, Orsay, Oxford
- Quando il rivelatore entrò in funzione nel 1971, le priorità di ricerca erano
 - Ricerca del BVI
 - Ricerca di leptoni pesanti
 - Deep inelastic scattering e violazione dello scaling
- L'interesse dei fisici per il modello di Glashow, Weinberg, Salam aumentò notevolmente nel 1971 dopo il lavoro di 't Hooft sulla rinormalizzabilità della teoria

- Discussioni fra P. Musset, B. Zumino, P. Prentki e M.K. Gaillard attirarono l'attenzione degli sperimentali sulla ricerca delle correnti neutre
 - Preferita dai teorici

$$\nu_{\mu} + e^- \rightarrow \nu_{\mu} + e^-$$

• Preferita dagli sperimentali

In tutti e due i processi non c'è il muone nello stato finale E' una corrente neutra

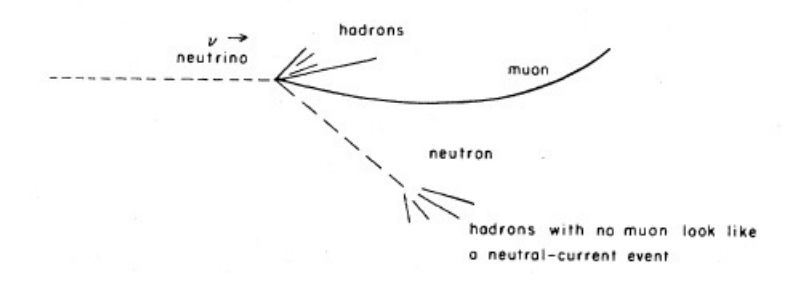
$$\nu_{\mu} + N \to \nu_{\mu} + X$$

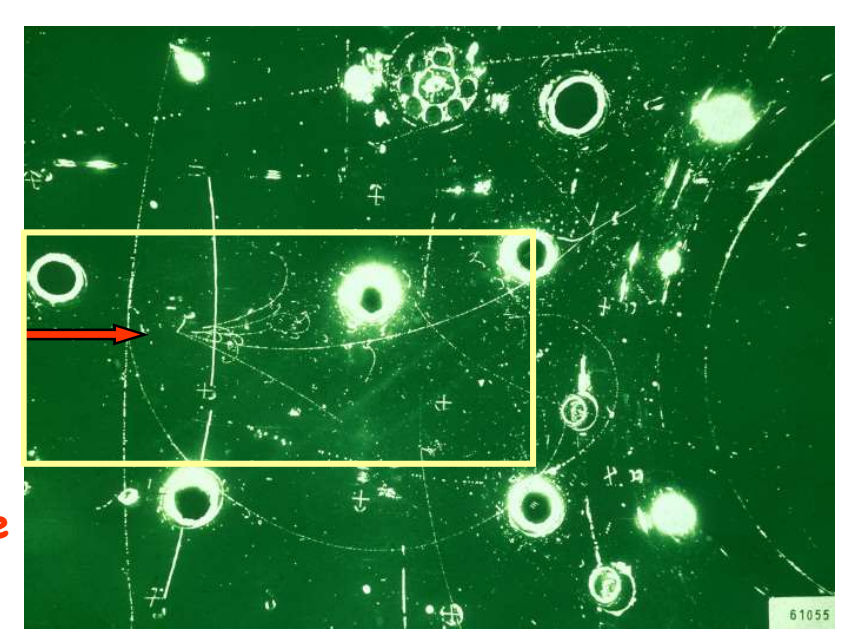
• Il primo processo aveva il vantaggio della estrema chiarezza e basso fondo ma la sua sezione d'urto era molto piccola

$$\sigma \sim G^2 m_e E_{\nu}$$

• Il secondo aveva il vantaggio di una "alta" sezione d'urto ma fondo adronico e difficoltà di calcolo teorico

- Furono osservate diverse fotografie di eventi senza muone
- Per potere affermare che si trattava di correnti neutre occorreva calcolare le probabilità di eventi di fondo:
 - Neutroni di alta energia che interagiscono nella camera a bolle
 - Produzione di muoni molto lenti che non si vedono nella camera
 - Muoni cosmici che fanno una interazione profondamente anelastica
- Il problema principale era il fondo di neutroni, studiato mediante gli "eventi associati"





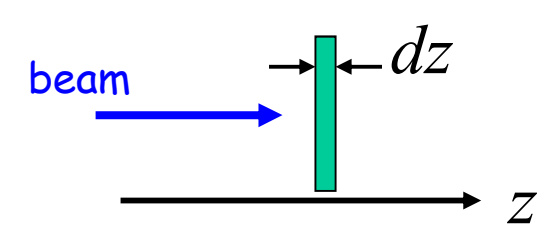
- · L'idea era di dimostrare che
 - · Le interazioni di neutrini sono distribuite uniformemente nel rivelatore
 - · Le interazioni di neutroni hanno un andamento esponenziale

$$n(z) = n_o e^{-\rho_T \sigma z}$$

La distribuzione spaziale degli eventi

ullet Sappiamo che il numero degli eventi prodotti in uno spessore dz di materiale \dot{ullet}

$$dn = n_o \rho_T A dz \frac{\sigma}{A} = n_o \rho_T dz \sigma$$



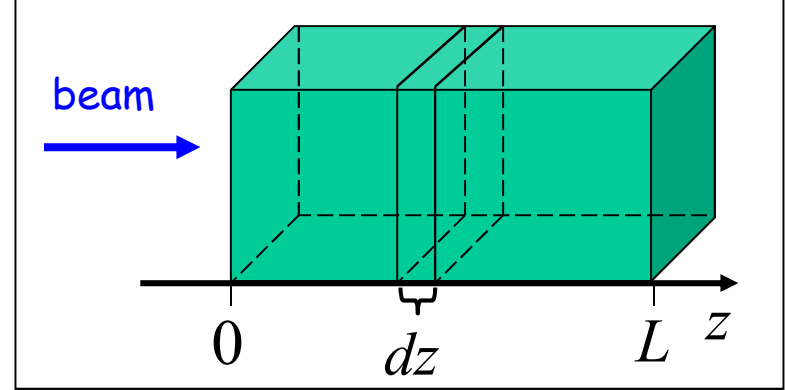
• Questa relazione è valida quando lo spessore è piccolo, cioè quando $dn << n_o$

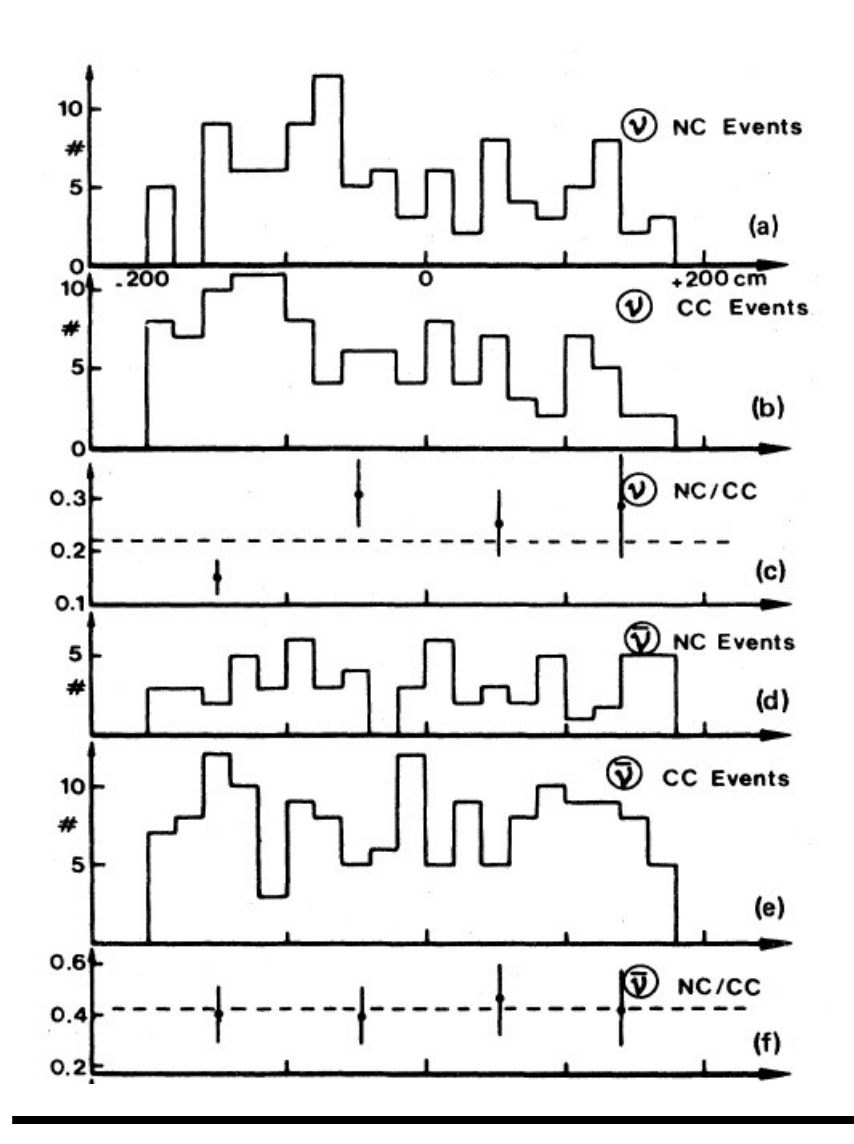
- Se il bersaglio non è sottile
 - La diminuzione del numero n di particelle del fascio è

$$dn = -n(z) \rho_T dz \sigma$$

• Da cui $\frac{dn}{n\left(z\right)}=-\rho_{T}dz\sigma$

$$n(z) = n_o e^{-\rho_T \sigma z}$$





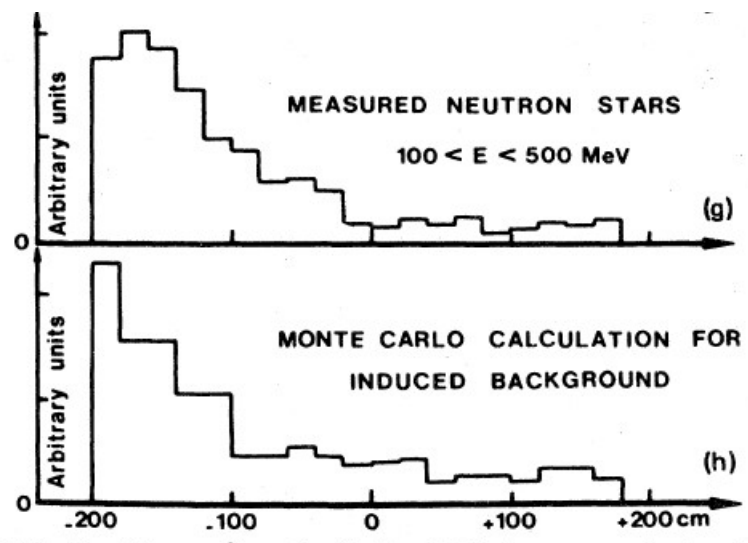
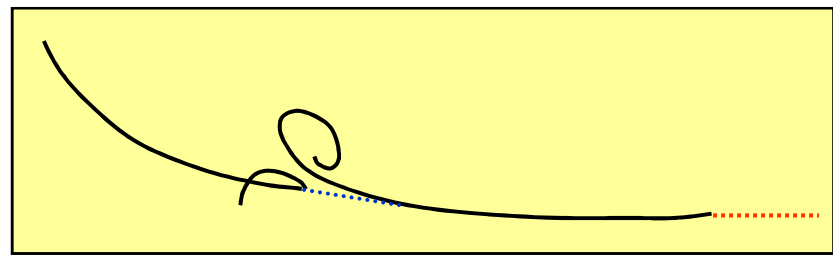


FIG. 13. Figures from the first published paper on hadronic neutral currents by the CERN-Gargamelle collaboration, Hasert et al., 1973b, p. 139. Distributions along the ν -beam axis. (a) NC events with ν . (b) CC events with ν (distribution based on a reference sample of $\sim \frac{1}{4}$ of the total ν film. (c) Normalized NC/CC ratio with ν . (d) NC with $\bar{\nu}$. (e) CC events with $\bar{\nu}$. (f) Ratio NC/CC with $\bar{\nu}$. (g) Measured neutron stars with 100 < E < 500 MeV having protons only. (h) Computed distribution of the background events from the Monte Carlo.

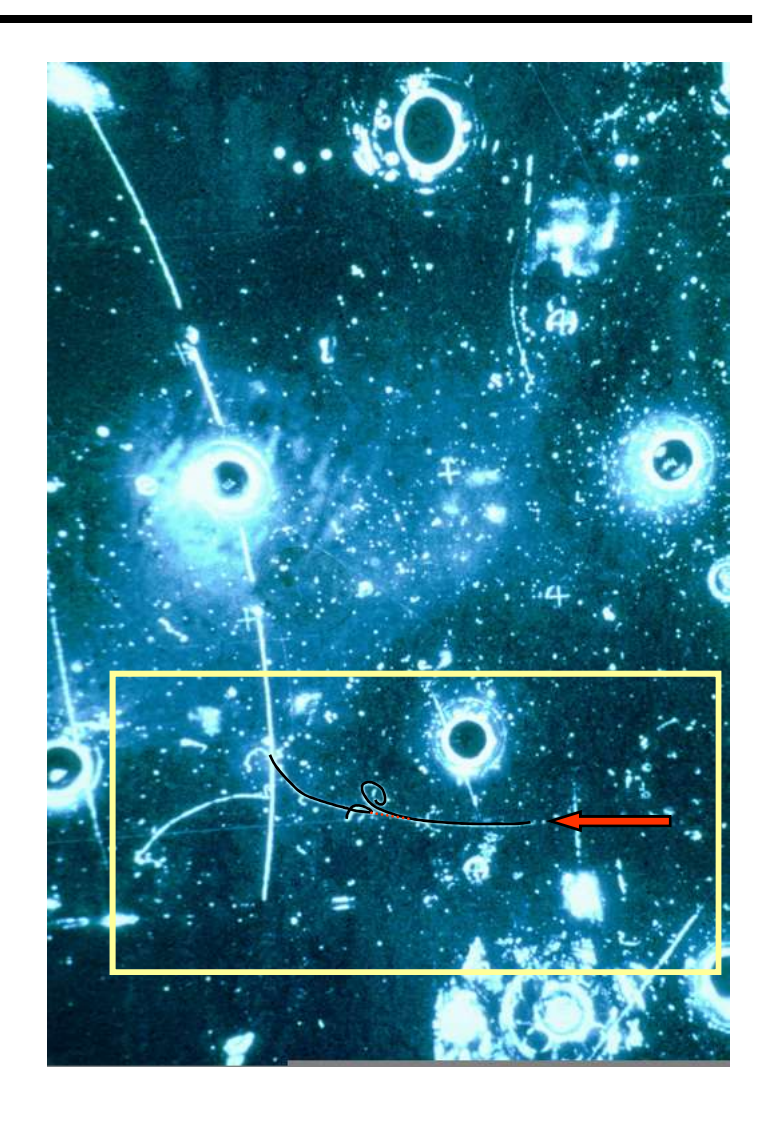
 Mentre ferveva l'attività per valutare il background negli eventi di corrente neutra adronici fu trovato un evento candidato di interazione neutrino-elettrone mediato da corrente neutra



• Il fondo per eventi di questo tipo era il decadimento β inverso

$$\nu_e + n \rightarrow e^- + p$$

- Quindi il problema era il fondo di u_e nel fascio di u_μ
- Vedi:
- Galison, "How the first neutral current experiments ended", Review of Modern Physics 55, p. 477 (1983)



Search for Neutrino Induced Events
Without a Muon in the Final State*

B. Aubert, A. Benvenuti, D. Cline, W. T. Ford, R. Imlay T. Y. Ling A. K. Mann, F. Messing, R. L. Piccioni,

J. Pilcher**, D. D. Reeder, C. Kubbia HadSkefanski and L. Sulak

Soldy J.

Department of Physics Harvard University Cambridge, Massachusetts 02138

Department of Physics (*) University of Pennsylvania Philadelphia, Pennsylvania 19104

Department of Physics *University of Wisconsin Madison, Wisconsin 53706

National Accelerator Laboratory Batavia, Illinois 60519

LIT R

Abstract

A comprehensive search for neutrino induced muonless events has been carried out using a liquid scintillator calorimeter - marnetic spectrometer exposed to various neutrino beams produced at the National Accelerator Laboratory. The ratio of muonless events to events with muons is observed to be \$10.05 \times 0.05 for the specific case of an enriched antineutrino beam. This appears to be in disagreement with recent observations made at CERN and with the predictions of the Weinberg model.

FIG. 21. Draft of letter to *Physical Review Letters* asserting that E1A showed no evidence for neutral currents at the Weinberg-Salam level. This paper was never published.

